

Starkniederschlagshöhen und -spenden gemäß KOSTRA-DWD-2020

Rasterfeld 84109

(Zeile 84, Spalte 109)

Regenspende und Bemessungsniederschlagswerte in Abhängigkeit von Wiederkehrzeit T und Dauerstufe D

| Dauerstufe D | | Wiederkehrzeit T | | | | | | | | | | | | | | | | | |
|--------------|-----|------------------|------------|------|------------|------|------------|------|------------|-------|------------|-------|------------|-------|------------|-------|------------|-------|------------|
| | | 1 a | | 2 a | | 3 a | | 5 a | | 10 a | | 20 a | | 30 a | | 50 a | | 100 a | |
| min | Std | mm | l / (s ha) | mm | l / (s ha) | mm | l / (s ha) | mm | l / (s ha) | mm | l / (s ha) | mm | l / (s ha) | mm | l / (s ha) | mm | l / (s ha) | mm | l / (s ha) |
| 5 | | 6,8 | 226,7 | 8,4 | 280,0 | 9,4 | 313,3 | 10,6 | 353,3 | 12,5 | 416,7 | 14,4 | 480,0 | 15,7 | 523,3 | 17,3 | 576,7 | 19,7 | 656,7 |
| 10 | | 8,5 | 141,7 | 10,5 | 175,0 | 11,8 | 196,7 | 13,4 | 223,3 | 15,7 | 261,7 | 18,1 | 301,7 | 19,7 | 328,3 | 21,8 | 363,3 | 24,7 | 411,7 |
| 15 | | 9,7 | 107,8 | 11,9 | 132,2 | 13,3 | 147,8 | 15,2 | 168,9 | 17,8 | 197,8 | 20,5 | 227,8 | 22,3 | 247,8 | 24,6 | 273,3 | 28,0 | 311,1 |
| 20 | | 10,5 | 87,5 | 13,0 | 108,3 | 14,5 | 120,8 | 16,5 | 137,5 | 19,4 | 161,7 | 22,3 | 185,8 | 24,3 | 202,5 | 26,8 | 223,3 | 30,5 | 254,2 |
| 30 | | 11,8 | 65,6 | 14,6 | 81,1 | 16,3 | 90,6 | 18,5 | 102,8 | 21,7 | 120,6 | 25,1 | 139,4 | 27,2 | 151,1 | 30,1 | 167,2 | 34,2 | 190,0 |
| 45 | | 13,2 | 48,9 | 16,3 | 60,4 | 18,2 | 67,4 | 20,7 | 76,7 | 24,3 | 90,0 | 28,0 | 103,7 | 30,5 | 113,0 | 33,7 | 124,8 | 38,3 | 141,9 |
| 60 | 1 | 14,3 | 39,7 | 17,6 | 48,9 | 19,7 | 54,7 | 22,4 | 62,2 | 26,3 | 73,1 | 30,3 | 84,2 | 33,0 | 91,7 | 36,4 | 101,1 | 41,4 | 115,0 |
| 90 | 1,5 | 16,0 | 29,6 | 19,7 | 36,5 | 22,0 | 40,7 | 25,0 | 46,3 | 29,4 | 54,4 | 33,9 | 62,8 | 36,8 | 68,1 | 40,7 | 75,4 | 46,2 | 85,6 |
| 120 | 2 | 17,2 | 23,9 | 21,3 | 29,6 | 23,8 | 33,1 | 27,0 | 37,5 | 31,7 | 44,0 | 36,6 | 50,8 | 39,8 | 55,3 | 43,9 | 61,0 | 49,9 | 69,3 |
| 180 | 3 | 19,2 | 17,8 | 23,7 | 21,9 | 26,5 | 24,5 | 30,1 | 27,9 | 35,4 | 32,8 | 40,8 | 37,8 | 44,3 | 41,0 | 49,0 | 45,4 | 55,6 | 51,5 |
| 240 | 4 | 20,8 | 14,4 | 25,6 | 17,8 | 28,6 | 19,9 | 32,5 | 22,6 | 38,2 | 26,5 | 44,0 | 30,6 | 47,9 | 33,3 | 52,9 | 36,7 | 60,1 | 41,7 |
| 360 | 6 | 23,1 | 10,7 | 28,5 | 13,2 | 31,8 | 14,7 | 36,2 | 16,8 | 42,5 | 19,7 | 49,1 | 22,7 | 53,3 | 24,7 | 58,9 | 27,3 | 66,9 | 31,0 |
| 540 | 9 | 25,7 | 7,9 | 31,7 | 9,8 | 35,5 | 11,0 | 40,3 | 12,4 | 47,4 | 14,6 | 54,6 | 16,9 | 59,4 | 18,3 | 65,6 | 20,2 | 74,5 | 23,0 |
| 720 | 12 | 27,8 | 6,4 | 34,3 | 7,9 | 38,3 | 8,9 | 43,5 | 10,1 | 51,1 | 11,8 | 59,0 | 13,7 | 64,1 | 14,8 | 70,8 | 16,4 | 80,4 | 18,6 |
| 1080 | 18 | 30,9 | 4,8 | 38,1 | 5,9 | 42,6 | 6,6 | 48,5 | 7,5 | 56,9 | 8,8 | 65,6 | 10,1 | 71,3 | 11,0 | 78,8 | 12,2 | 89,5 | 13,8 |
| 1440 | 24 | 33,4 | 3,9 | 41,2 | 4,8 | 46,0 | 5,3 | 52,3 | 6,1 | 61,4 | 7,1 | 70,8 | 8,2 | 77,0 | 8,9 | 85,0 | 9,8 | 96,6 | 11,2 |
| 2880 | 48 | 40,1 | 2,3 | 49,4 | 2,9 | 55,2 | 3,2 | 62,8 | 3,6 | 73,8 | 4,3 | 85,1 | 4,9 | 92,5 | 5,4 | 102,1 | 5,9 | 116,0 | 6,7 |
| 4320 | 72 | 44,6 | 1,7 | 55,0 | 2,1 | 61,5 | 2,4 | 69,9 | 2,7 | 82,1 | 3,2 | 94,7 | 3,7 | 102,9 | 4,0 | 113,7 | 4,4 | 129,2 | 5,0 |
| 5760 | 96 | 48,1 | 1,4 | 59,4 | 1,7 | 66,3 | 1,9 | 75,4 | 2,2 | 88,6 | 2,6 | 102,2 | 3,0 | 111,0 | 3,2 | 122,7 | 3,6 | 139,4 | 4,0 |
| 7200 | 120 | 51,1 | 1,2 | 63,0 | 1,5 | 70,3 | 1,6 | 80,0 | 1,9 | 94,0 | 2,2 | 108,4 | 2,5 | 117,8 | 2,7 | 130,1 | 3,0 | 147,8 | 3,4 |
| 8640 | 144 | 53,6 | 1,0 | 66,1 | 1,3 | 73,8 | 1,4 | 84,0 | 1,6 | 98,6 | 1,9 | 113,7 | 2,2 | 123,6 | 2,4 | 136,5 | 2,6 | 155,1 | 3,0 |
| 10080 | 168 | 55,8 | 0,9 | 68,8 | 1,1 | 76,9 | 1,3 | 87,5 | 1,4 | 102,7 | 1,7 | 118,4 | 2,0 | 128,7 | 2,1 | 142,2 | 2,4 | 161,6 | 2,7 |

Starkniederschlagshöhen und -spenden gemäß KOSTRA-DWD-2020

Rasterfeld 84109

(Zeile 84, Spalte 109)

Örtliche Unsicherheiten in Abhängigkeit von Wiederkehrzeit T und Dauerstufe D

| Dauerstufe D | | Wiederkehrzeit T | | | | | | | | |
|--------------|-----|------------------|-----|-----|-----|------|------|------|------|-------|
| | | 1 a | 2 a | 3 a | 5 a | 10 a | 20 a | 30 a | 50 a | 100 a |
| min | Std | ± % | ± % | ± % | ± % | ± % | ± % | ± % | ± % | ± % |
| 5 | | 15 | 16 | 17 | 18 | 19 | 20 | 20 | 21 | 21 |
| 10 | | 17 | 19 | 20 | 21 | 22 | 23 | 24 | 24 | 25 |
| 15 | | 18 | 20 | 21 | 22 | 24 | 25 | 25 | 26 | 26 |
| 20 | | 18 | 21 | 22 | 23 | 24 | 25 | 26 | 26 | 27 |
| 30 | | 18 | 21 | 22 | 23 | 24 | 25 | 26 | 26 | 27 |
| 45 | | 18 | 20 | 21 | 22 | 24 | 25 | 25 | 26 | 27 |
| 60 | 1 | 17 | 20 | 21 | 22 | 23 | 24 | 25 | 25 | 26 |
| 90 | 1,5 | 16 | 19 | 20 | 21 | 22 | 23 | 24 | 24 | 25 |
| 120 | 2 | 15 | 18 | 19 | 20 | 21 | 22 | 23 | 23 | 24 |
| 180 | 3 | 14 | 16 | 17 | 19 | 20 | 21 | 21 | 22 | 23 |
| 240 | 4 | 14 | 16 | 17 | 18 | 19 | 20 | 20 | 21 | 22 |
| 360 | 6 | 13 | 15 | 15 | 16 | 18 | 19 | 19 | 20 | 20 |
| 540 | 9 | 13 | 14 | 15 | 16 | 17 | 17 | 18 | 19 | 19 |
| 720 | 12 | 13 | 14 | 14 | 15 | 16 | 17 | 17 | 18 | 18 |
| 1080 | 18 | 13 | 14 | 14 | 15 | 16 | 16 | 17 | 17 | 18 |
| 1440 | 24 | 14 | 14 | 14 | 15 | 16 | 16 | 17 | 17 | 17 |
| 2880 | 48 | 16 | 16 | 16 | 16 | 16 | 17 | 17 | 17 | 17 |
| 4320 | 72 | 18 | 17 | 17 | 17 | 17 | 18 | 18 | 18 | 18 |
| 5760 | 96 | 19 | 19 | 18 | 18 | 18 | 18 | 18 | 19 | 19 |
| 7200 | 120 | 21 | 20 | 19 | 19 | 19 | 19 | 19 | 19 | 19 |
| 8640 | 144 | 22 | 21 | 20 | 20 | 20 | 20 | 20 | 20 | 20 |
| 10080 | 168 | 23 | 21 | 21 | 21 | 20 | 20 | 20 | 20 | 20 |

Parameter für abweichende T und D

Lokationsparameter ξ (Xi)

14,43309936

Skalenparameter α (Alpha)

4,67715815

Formparameter κ (Kappa)

-0,1

1. Koutsoyiannis-Parameter θ (Theta)

0,01172553

2. Koutsoyiannis-Parameter η (Eta)

0,73592465

Parameter für dauerstufenübergreifende Extremwertschätzung nach KOUTSOYIANNIS et al. 1998.

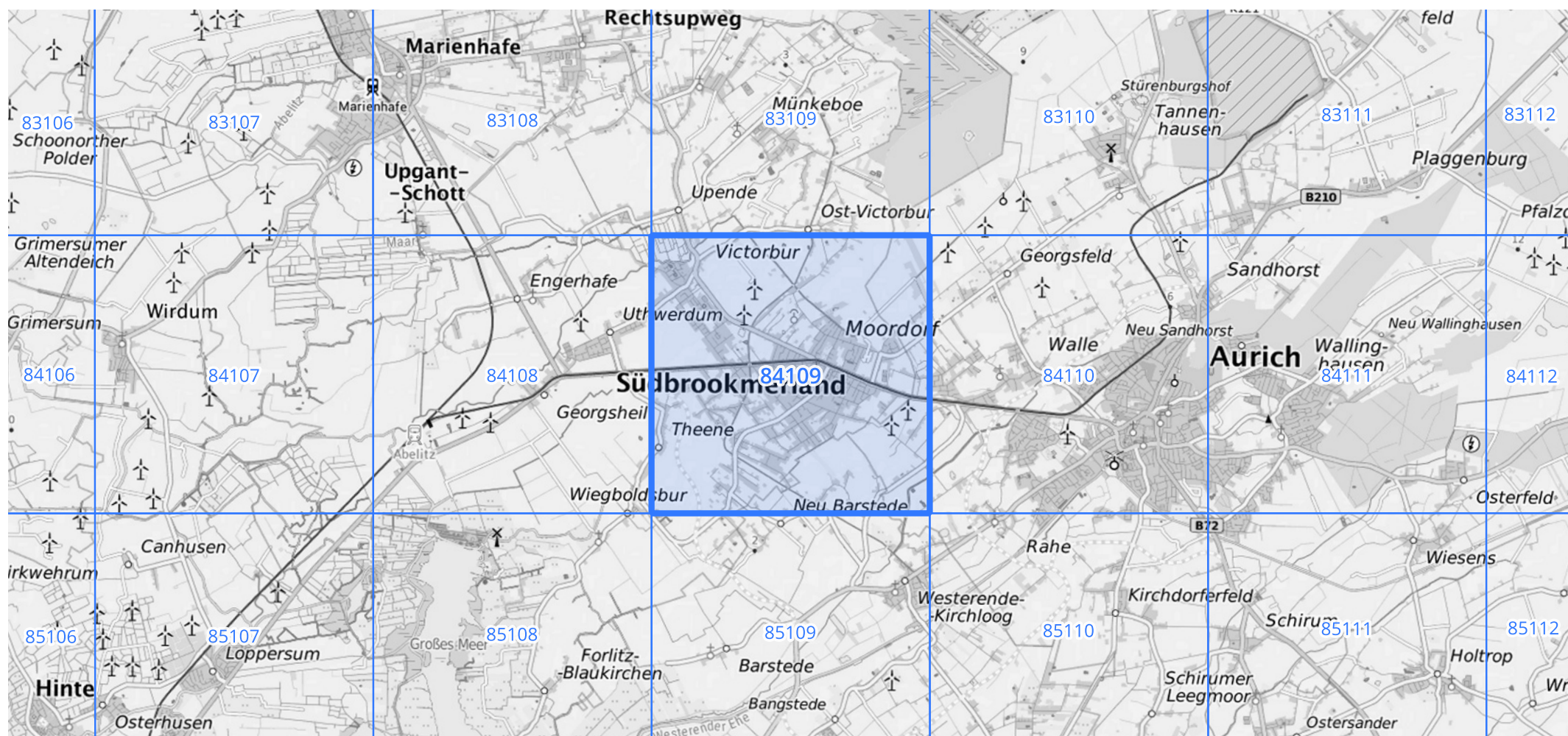
Siehe auch Anwendungshilfe zu KOSTRA-DWD-2020 des Deutschen Wetterdienstes.

Starkniederschlagshöhen und -spenden gemäß KOSTRA-DWD-2020

Rasterfeld 84109

(Zeile 84, Spalte 109)

Übersichtskarte des Rasterfeldes 84109, M 1 : 100 000



Quelle Rasterdaten: KOSTRA-DWD-2020 des Deutschen Wetterdienstes, Stand 12/2022.

Seite 3 von 3

Kartendarstellung: © Bundesamt für Kartographie und Geodäsie (2023), Datenquellen: https://sgx.geodatenzentrum.de/web_public/gdz/datenquellen/Datenquellen_TopPlusOpen.html

Für die Richtigkeit und Aktualität der Angaben wird keine Gewähr übernommen. Erstellt 01/2023.